



E47312

มาตรฐานความมั่นคงทางด้าน CYPRAS ที่จะแสดงชัดเจนว่าเราสามารถพิสูจน์ได้ในสิ่งที่เรียกว่า
เมืองที่เป็นที่ตั้งของมนต์ราษฎร์ที่ร่วมกับชนเผ่าอื่นๆ ที่ไม่สามารถ นำสิ่งที่เรียกว่า

มาตรฐาน CYPRAS ไว้ในหน้า :

มาตรฐาน CYPRAS ที่จะแสดงชัดเจนว่าเราสามารถพิสูจน์ได้ในสิ่งที่เรียกว่า
มนต์ราษฎร์ที่ร่วมกับชนเผ่าอื่นๆ ภารกิจที่สำคัญที่สุดคือการติดตามและเฝ้าระวัง
มนต์ราษฎร์ที่ร่วมกับชนเผ่าอื่นๆ ภารกิจที่สำคัญที่สุดคือการติดตามและเฝ้าระวัง

ปี พ.ศ. ๒๕๕๓

จัดทำโดย ศูนย์กลางการวิจัยและพัฒนาฯ

b00254726

ห้องสมุดงานวิจัย สำนักงานคณะกรรมการวิจัยแห่งชาติ

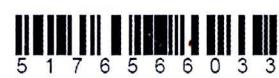


ผลของภาวะพหุสัณฐานของยีน CYP3A5 ต่อเภสัชจลนศาสตร์ของยาคาร์บามาซีพีนในผู้ป่วยไทย
เมื่อใช้เป็นยาเดี่ยวหรือใช้ร่วมกับยาเพนิทอยน์ ฟีโนบาร์บิตอล หรือวัลโพรอิกแอซิด



นางสาวธราธร ไตรยางค์

วิทยานิพนธ์นี้เป็นส่วนหนึ่งของการศึกษาตามหลักสูตรปริญญาเภสัชศาสตรมหาบัณฑิต
สาขาวิชาเภสัชกรรมคลินิก ภาควิชาเภสัชกรรมปฏิบัติ
คณะเภสัชศาสตร์ จุฬาลงกรณ์มหาวิทยาลัย
ปีการศึกษา 2553
ลิขสิทธิ์ของจุฬาลงกรณ์มหาวิทยาลัย



EFFECT OF CYP3A5 POLYMORPHISM ON CARBAMAZEPINE PHARMACOKINETICS
IN THAI PATIENTS AS MONOTHERAPY OR COADMINISTRATION WITH PHENYTOIN,
PHENOBARBITAL OR VALPROIC ACID

Miss Tharathorn Traiyawong

A Thesis Submitted in Partial Fulfillment of the Requirements
for the Degree of Master of Science in Pharmacy Program in Clinical Pharmacy
Department of Pharmacy Practice
Faculty of Pharmaceutical Sciences
Chulalongkorn University
Academic Year 2010
Copyright of Chulalongkorn University

Thesis Title	EFFECT OF CYP3A5 POLYMORPHISM ON CARBAMAZEPINE PHARMACOKINETICS IN THAI PATIENTS AS MONOTHERAPY OR COADMINISTRATION WITH PHENYTOIN, PHENOBARBITAL OR VALPROIC ACID
By	Miss Tharathorn Traiyawong
Field of Study	Clinical Pharmacy
Thesis Advisor	Associate Professor Duangchit Panomvana Na Ayudhya, Ph.D.
Thesis Co-Advisor	Somchai Tawanabut, M.D.

Accepted by the Faculty of Pharmaceutical Sciences, Chulalongkorn University in
Partial Fulfillment of the Requirements for the Master's Degree

 Philip Pongpech Dean of the Faculty of
Pharmaceutical Sciences

(Associate Professor Pintip Pongpech, Ph.D.)

THEESIS COMMITTEE

Narat Kaselthalat Chairman

(Assistant Professor Narat Kasettratat)

Dnychit Panommu Thesis Advisor

(Associate Professor Duangchit Panomvana Na Ayudhya, Ph.D.)

Somchai Tawanabut, Thesis Co-Advisor
(Somchai Tawanabut, M.D.)

Baralee Punyawudho..... Examiner
(Baralee Punyawudho, Ph.D.)

Supoch Tunlavadechapanit External Examiner
(Assistant Professor Supoch Tunlavadechapanit, M.D.)

ธราธร ไตรยวงศ์ : ผลงานของภาวะพหุสันฐานของยีน CYP3A5 ต่อเภสัชจลนศาสตร์ของยาคาร์บามาซีพีนในผู้ป่วยไทย เมื่อใช้เป็นยาเดี่ยวหรือใช้ร่วมกับยาเฟนิทอยน์ ฟีโนบาร์บิตอล หรือวาลโพรอิกแอซิด (EFFECT OF CYP3A5 POLYMORPHISM ON CARBAMAZEPINE PHARMACOKINETICS IN THAI PATIENTS AS MONOTHERAPY OR COADMINISTRATION WITH PHENYTOIN, PHENOBARBITAL OR VALPROIC ACID) อ. ทีปรีกษาวิทยานิพนธ์หลัก: รศ.ภญ.ดร.ดวงจิตต์ พนมวัน ณ อยุธยา, อ. ทีปรีกษาวิทยานิพนธ์ร่วม: นพ.สมชาย โตวนะบุตร, 130 หน้า.

E47312

งานวิจัยนี้มีสามวัตถุประสงค์หลัก วัตถุประสงค์ที่ 1 เปรียบเทียบอัตราการกำจัดยาและสัดส่วนระดับยาต่อขนาดยาของยาคาร์บามาซีพีนระหว่างผู้ป่วยที่มีอัลลิลแบบ CYP3A5*1 และ CYP3A5*3 เมื่อใช้เป็นยาเดี่ยวหรือใช้ร่วมกับยาเฟนิทอยน์ ฟีโนบาร์บิตอล หรือวาลโพรอิกแอซิด วัตถุประสงค์ที่ 2 สร้างสมการทำนายอัตราการกำจัดยาคาร์บามาซีพีนจากข้อมูลพื้นฐานของผู้ป่วยและภาวะพหุสันฐานของยีน CYP3A5 วัตถุประสงค์ที่ 3 ศึกษาความสัมพันธ์ระหว่างอัตราการกำจัดยาคาร์บามาซีพีนกับอัตราสูงสุดของการเมแทบอลิซึมของยาเฟนิทอยน์ อัตราการกำจัดยาฟีโนบาร์บิตอล และอัตราการกำจัดยาวาลโพรอิกแอซิด

การศึกษาแบบย้อนหลัง-ไปข้างหน้าเก็บข้อมูล ณ คลินิกผู้ป่วยนอกโรงพยาบาล สถาบันประสาทวิทยากรุงเทพมหานคร มีการตรวจยืนยัน CYP3A5 ในผู้ป่วย 70 ราย พบร้อยละ 31 มีอัลลิลแบบ CYP3A5*1 และร้อยละ 69 มีอัลลิลแบบ CYP3A5*3 อัตราการกำจัดยาและสัดส่วนระดับยาต่อขนาดยาของยาคาร์บามาซีพีนระหว่างผู้ป่วยที่มีอัลลิลแบบ CYP3A5*1 และ CYP3A5*3 ไม่แตกต่างกันอย่างมีนัยสำคัญทางสถิติ อย่างไรก็ตามพบว่าในผู้ป่วยที่มีอัลลิลแบบ CYP3A5*1 ที่ใช้ยาคาร์บามาซีพีนร่วมกับยาแก้ไข้ที่เหนี่ยวนำเนอีซีเม (เฟนิทอยน์ หรือฟีโนบาร์บิตอล) มีแนวโน้มที่จะเกิดการเปลี่ยนแปลงอัตราการกำจัดยาคาร์บามาซีพีนได้มากกว่าและมีสัดส่วนระดับยาต่อขนาดยาลดลงมากกว่าผู้ป่วยที่มีอัลลิลแบบ CYP3A5*3 จากการวิเคราะห์สมการถดถอยแบบหลายตัวแปรเพื่อทำนายอัตราการกำจัดยาคาร์บามาซีพีนจากข้อมูลพื้นฐานของผู้ป่วยและภาวะพหุสันฐานของยีน CYP3A5 (ผู้ป่วย 70 ราย) พบร้อยละ 4 ปัจจัยที่สัมพันธ์กับอัตราการกำจัดยาคาร์บามาซีพีน (ลิตรต่อวินาที) ได้แก่ ขนาดยาคาร์บามาซีพีน (มก./กก.) ขนาดยาเฟนิทอยน์ (มก./กก.) ขนาดยาฟีโนบาร์บิตอล (มก./กก.) และน้ำหนักตัว (กก.) สมการที่สร้างขึ้นสามารถอธิบายความแตกต่างของอัตราการกำจัดยาคาร์บามาซีพีนได้ 54.7% ($p<0.001$) เมื่อยากันชักสองตัวถูกใช้ควบคู่กันอัตราสูงสุดของการเมแทabolizึมของยาเฟนิทอยน์มีความสัมพันธ์ค่อนข้างสูงกับอัตราการกำจัดยาคาร์บามาซีพีน (ผู้ป่วย 14 ราย, $R^2 = 78\%$, $p<0.001$) ขณะที่อัตราการกำจัดยาวาลโพรอิกแอซิดมีความสัมพันธ์ระดับปานกลางกับอัตราการกำจัดยาฟีโนบาร์บิตอลกับอัตราการกำจัดยาคาร์บามาซีพีนไม่ถึงระดับที่มีนัยสำคัญทางสถิติ (ผู้ป่วย 15 ราย, $R^2 = 11\%$, $p=0.227$)

ภาควิชา....เภสัชกรรมปฏิบัติ.....	ลายมือชื่อนิสิต.....	ธราธร ไตรยวงศ์
สาขาวิชา..เภสัชกรรมคลินิก.....	ลายมือชื่อ อ.ทีปรีกษาวิทยานิพนธ์หลัก.....	
ปีการศึกษา....2553.....	ลายมือชื่อ อ.ทีปรีกษาวิทยานิพนธ์ร่วม.....	

5176566033 : MAJOR CLINICAL PHARMACY

KEYWORDS: CARBAMAZEPINE / PHARMACOKINETICS / CYP3A5/ POLYMORPHISM

THARATHORN TRAIYAWONG: EFFECT OF CYP3A5 POLYMORPHISM ON
CARBAMAZEPINE PHARMACOKINETICS IN THAI PATIENTS AS MONOTHERAPY OR
COADMINISTRATION WITH PHENYTOIN, PHENOBARBITAL OR VALPROIC ACID.
THESIS ADVISOR: ASSOC. PROF. DUANGCHIT PANOMVANA NA AYUDHYA, Ph.D.,
THESIS CO-ADVISOR : SOMCHAI TOWANABUT, M.D., 130 pp.

E 47312

There were three main purposes in this present study; first, to compare clearance, level-to-dose ratio of carbamazepine (CBZ) between patients with *CYP3A5*1* and *CYP3A5*3* alleles either when CBZ was used as monotherapy or coadministration with phenytoin (PHT), phenobarbital (PB) or valproic acid (VPA), second, to provide regression equation to predict CBZ clearance from demographic data and polymorphism of *CYP3A5*, third, to determine relationship between CBZ clearance and the maximum rate of metabolism of PHT (V_{max}), PB clearance and VPA clearance.

A retro-prospective data were collected at the epilepsy outpatient clinic of Prasat Neurological Institute, Bangkok. Genotyping of *CYP3A5* was performed in 70 patients. The allele frequency of *CYP3A5*1* was 31% and *CYP3A5*3* was 69%. The CBZ clearance and level-to-dose ratio was not significantly different between patients with *CYP3A5*1* and *CYP3A5*3* alleles. However, in patients who used CBZ in combination with enzyme inducing antiepileptic drug (PHT or PB), individuals carrying *CYP3A5*1* allele yielded the trend toward more susceptible to changes in CBZ clearance and showed lower CBZ-level-to-dose ratio as compared to individuals carrying *CYP3A5*3* allele. Multiple regression analysis for prediction of CBZ clearance from demographic data and *CYP3A5* genotypes (N=70), which excluded *CYP3A5* genotypes while selected four other factors generated the model as being related to CBZ clearance (L/kg/day); CBZ dose (mg/kg), PHT dose (mg/kg), PB dose (mg/kg) and body weight (kg), this model could explain 54.7% of the variance in CBZ clearance ($p<0.001$). When two antiepileptic drugs were used concurrently, PHT V_{max} showed high correlation with CBZ clearance (N=14, $R^2 = 78\%$, $p<0.001$), VPA clearance showed moderate correlation with CBZ clearance (N=16, $R^2 = 41.2\%$, $p=0.007$) while the correlation between PB clearance and CBZ clearance was not reach the statistically significant level (N=15, $R^2 = 11\%$, $p=0.227$).

Department : Pharmacy Practice

Student's Signature *Tharathorn Traiyawong*

Field of Study : Clinical Pharmacy

Advisor's Signature *Duangchit Panomvanan*

Academic Year : 2010

Co-Advisor's Signature *Somchai Towanbut*

ACKNOWLEDGEMENTS

My thesis would have not been completed without support and encouragement from many people. First of all, I would like to express my sincere gratitude to my thesis advisor, Associate Professor Duangchit Panomvana Na Ayudhya from Department of Pharmacy Practice, Faculty of Pharmaceutical Sciences, Chulalongkorn University, for her invaluable advice, continual guidance, suggestions, keen interest and encouragement throughout the course of the study.

To Somchai Towanabut, M.D. from Prasat Neurological Institute, my thesis co-advisor, he devoted helpful discussion and suggestion of this study. My appreciation is also extended to the thesis committee; Assistant Professor Narat Kasettratat, Assistant Professor Supoch Tunlayadechanont and Baralee Punyawudho, for their critical evaluation and helpful suggestions this research and providing information for improvement until success.

I also wish to express my gratitude to the director of Prasat Neurological Institute, for favor in this study at Prasat Neurological Institute. I also thanks to all physicians, pharmacists, nurses, and laboratory staffs at Prasat Neurological Institute for their helpful co-operation and support in providing information and laboratory facilities.

A special appreciation is extended to Medical Research center, the Faculty of Medicine, Chulalongkorn University for support in providing laboratory facilities.

Thanks are also due to the 90th anniversary of Chulalongkorn University fund (Ratchadaphiseksomphot Endowment Fund) for granting financial support to fulfill this study. Not lastly, I wish to thank Nongsung Hospital which gave me the best chance for continuing education. I hold in the highest regard, thank you.

I would like to express my thanks and gratitude to all patients who participated in this study and all of those whose name have not been mentioned for helping me in any way for this study.

Finally, this study would not have been successful without endless love, care, and support from my parents and my brother.

CONTENTS

	Page
ABSTRACT (THAI).....	iv
ABSTRACT (ENGLISH).....	v
ACKNOWLEDGEMENTS.....	vi
CONTENTS.....	xii
LIST OF TABLES.....	ix
LIST OF FIGURES.....	xiii
LIST OF ABBREVIATIONS.....	xv
CHAPTER	
I. INTRODUCTION.....	1
- Background and Rational.....	1
- Hypothesis	2
- Objective.....	3
- Significant of the study.....	3
- Scope of this study.....	3
- Limitation of this study.....	3
- Conceptual framework.....	3
- Operational Definition.....	5
II. LITERATURE REVIEWS.....	6
- Carbamazepine.....	6
- Cytochrome P450 3A5 (CYP3A5) Polymorphism	20
- CYP3A5 genotyping.....	26
- Antiepileptic drug analytical methods.....	27
- Pharmacokinetic parameters calculation of CBZ, PHT, PB and VPA.....	28
III. PATIENTS AND METHODS.....	30
- Study design.....	30

CONTENTS (continue)

	Page
CHAPTER	
- Patients	30
- Study protocol.....	33
- Sampling.....	36
- Bioanalysis.....	36
- Statistical analysis.....	40
IV. RESULTS.....	41
- Part 1 Clinical pharmacokinetics of carbamazepine as monotherapy and in combination with classical antiepileptic- drugs.....	41
- Part 2 Correlation between pharmacokinetic parameters of carbamazepine and other classical antiepileptic drugs when used in combination.....	49
- Part 3 Effect of CYP3A5 polymorphism on CBZ pharmacokinetics.....	60
V. DISCUSSION AND CONCLUSION.....	95
REFERENCES.....	106
APPENDICES.....	113
APPENDIX A.....	114
APPENDIX B.....	116
APPENDIX C.....	119
APPENDIX D.....	122
APPENDIX E.....	126
VITA.....	130

LIST OF TABLES

Table		Page
1	Half-life and Time to Steady State.....	10
2	Drug interactions that CBZ change the concentrations.....	12
3	Drug interactions that change the CBZ concentrations.....	13
4	Main enzymes that involved in drug interaction between CBZ and PHT, PB or VPA.....	14
5	The initial and maximum maintenance dosing of CBZ for trigeminal neuralgia and bipolar disorder.....	16
6	The initial and maximum maintenance dosing and dosage forms of CBZ for epilepsy.....	16
7	Thai guideline of selection of AEDs.....	17
8	<i>CYP3A5</i> allele.....	22
9	Allele frequencies of the <i>CYP3A5</i> in Thai population and other ethnic populations.....	24
10	Comparison the effect of <i>CYP3A5</i> polymorphism on CBZ clearance	26
11	Antiepileptic drug analytical methods.....	28
12	Demographic data of patients (N=82).....	42
13	Pharmacokinetic parameters of CBZ from total patients included (N=82).....	42
14	Comparisons of some patient's characteristics and pharmacokinetic parameters of CBZ among CBZ monotherapy and difference combination therapy groups.....	44
15	Multiple comparisons of the pharmacokinetic parameters of CBZ between CBZ monotherapy and combination therapy.....	45
16	Pharmacokinetic parameters of other AEDs used in combination with CBZ.....	46
17	Therapeutic outcome of patients.....	48
18	Demographic data.....	49

LIST OF TABLES (continue)

Table		Page
19	Pharmacokinetic parameters of AEDs used in combination with CBZ....	50
20	Pharmacokinetic parameters of individual patient in CBZ+PHT combination therapy group.....	52
21	Regression equations show correlation between PHT maximum rate of metabolism and CBZ clearance.....	54
22	Pharmacokinetic parameters of individual patient in CBZ+PB combination therapy group.....	55
23	Regression equations show correlation between PB clearance and CBZ clearance.....	56
24	Pharmacokinetic parameters of individual patient in CBZ+VPA combination therapy group.....	57
25	Regression equations show correlation between VPA clearance and CBZ clearance.....	59
26	Demographic data of patients (N=70).....	61
27	Pharmacokinetic parameters of CBZ from total patients included (N=70).....	63
28	Prevalence of CYP3A5 genotype.....	64
29	Demographic characteristics of patients when categorized patients into 3 groups based on CYP3A5 genotypes.....	66
30	Pharmacokinetic parameters of CBZ when categorized patients into 3 groups based on CYP3A5 genotypes.....	67
31	Demographic characteristics of patients when categorized patients into 2 groups based on CYP3A5 genotypes.....	68
32	Pharmacokinetic parameters of CBZ when categorized patients into 2 groups based on CYP3A5 genotypes.....	69

LIST OF TABLES (continue)

Table		Page
33A	Comparison of patient's characteristics and pharmacokinetic parameters of CBZ in CBZ monotherapy group between <i>CYP3A5*1/*1</i> and <i>*1/*3</i> VS <i>CYP3A5*3/*3</i>	71
33B	Comparison of patient's characteristics and pharmacokinetic parameters of CBZ in CBZ monotherapy group between <i>CYP3A5*1/*1</i> VS <i>CYP3A5*1/*3</i> and <i>*3/*3</i>	72
34	Comparison of patient's characteristics and pharmacokinetic parameters of CBZ in CBZ+PHT group between <i>CYP3A5 *1/*3</i> and <i>CYP3A5*3/*3</i>	73
35	Comparison of patient's characteristics and pharmacokinetic parameters of CBZ in CBZ+PB group between <i>CYP3A5 *1/*3</i> and <i>CYP3A5*3/*3</i>	77
36	Comparison of patient's characteristics and pharmacokinetic parameters of CBZ in CBZ+VPA group between <i>CYP3A5 *1/*1</i> and [*] <i>1/*3</i> VS <i>CYP3A5*3/*3</i>	79
37	Comparisons of patient's characteristics and pharmacokinetic parameters of CBZ in CBZ in combination with enzyme inducing AED group (PHT and PB) between <i>CYP3A5 *1/*3</i> and <i>CYP3A5*3/*3</i>	81
38	Comparisons of PK parameters of other AEDs used in combination with CBZ when categorized patients into 2 groups based on <i>CYP3A5</i> genotypes.....	83
39	Comparisons of pharmacokinetic parameters of CBZ among CBZ monotherapy group and difference combination therapy groups (<i>CYP3A5*1/*1</i> and <i>CYP3A5*1/*3</i> genotypes).....	85
40	Comparisons of pharmacokinetic parameters of CBZ among CBZ monotherapy group and difference combination therapy groups (<i>CYP3A5*3/*3</i> genotype).....	86

LIST OF TABLES (continue)

Table		Page
41A	Model summary of forward stepwise linear regression for prediction of In CBZ Clearance (L/hr and L/day).....	88
41B	Model summary of forward stepwise linear regression for prediction of In CBZ Clearance (L/kg/day).....	88
42A	Coefficients of factors in the best fit equation for prediction of In CBZ Clearance (L/hr and L/day).....	89
42B	Coefficients of factors in the best fit equation for prediction of In CBZ Clearance (L/kg/day).....	89
43	Model summary of forward stepwise linear regression for prediction of CBZ level-to-dose ratio (mcg/L/mg).....	92
44	Coefficients of factors in the best fit equation for prediction of CBZ level-to-dose ratio (mcg/L/mg).....	92
45	Comparison of CYP3A5 allele frequencies among Asians.....	94
46	Overview of CBZ clearance estimations from CBZ monotherapy reported by different ethnicity.....	97

LIST OF FIGURES

Figure		Page
1	Conceptual framework.....	4
2	Chemical structure of CBZ.....	6
3	Distribution of mutation in the <i>CYP3A5</i> gene.....	22
4	SNP in <i>CYP3A5</i> gene within intron 3 (A6986G).....	23
5	Study protocol.....	35
6	Scatter plot of CBZ clearance (L/kg/day) versus PHT maximum rate of metabolism (mg/kg/day) (N=14).....	53
7	Scatter plot of ln CBZ clearance (L/kg/day) versus VPA clearance (L/kg/day).....	58
8	Scatter plot of VPA clearance (L/kg/day) versus CBZ clearance (L/kg/day).....	58
9	Box and whisker plot of the median CBZ level (mcg/L/mg) between different genotypes in CBZ+PHT group (N=7).....	75
10	Box and whisker plot of the median CBZ clearance (L/kg/day) between different genotypes in CBZ+PHT group (N=7).....	75
11	Box and whisker plot of the median CBZ level (mcg/L/mg) between different genotypes in CBZ+PB group (N=11).....	78
12	Box and whisker plot of the median CBZ clearance (L/kg/day) between different genotypes in CBZ+PB group (N=11).....	78
13	Box and whisker plot of the median CBZ level (mcg/L/mg) between different genotypes in CBZ+VPA group (N=16).....	80
14	Box and whisker plot of the median CBZ clearance (L/kg/day) between different genotypes in CBZ+VPA group (N=16).....	80
15	Box and whisker plot of median CBZ level (mcg/L/mg) between different genotypes in CBZ concurrently used with enzyme inducing AED group (N=18).....	82

LIST OF FIGURES (continue)

Figure		Page
16	Box and whisker plot of median CBZ clearance (L/kg/day) between different genotypes in CBZ concurrently used with enzyme inducing AED group (N=18).....	82
17	Scatter plot of observed ln CBZ clearance and predicted ln CBZ clearance (L/hr).....	91
18	Scatter plot of observed CBZ level-to-dose ratio and predicted CBZ level-to-dose ratio.....	93

LIST OF ABBREVIATIONS

AED	=	Antiepileptic Drug
ANOVA	=	Analysis of Variance
CBZ	=	Carbamazepine
CL	=	Clearance
CYP1A2	=	Cytochrome P450, family 1, subfamily A, polypeptide 2
CYP2C8	=	Cytochrome P450, family 2, subfamily C, polypeptide 8
CYP3A4	=	Cytochrome P450, family 3, subfamily A, polypeptide 4
CYP3A5	=	Cytochrome P450, family 3, subfamily A, polypeptide 5
ddH ₂ O	=	Double distilled water
DNA	=	Deoxyribonucleic acid
EDTA	=	Ethylenediaminetetraacetic acid
HWE	=	Hardy-Weinberg Equilibrium
mcg	=	Microgram
mRNA	=	messenger Ribonucleic acid
OD	=	Optical Density
PCR	=	Polymerase Chain Reaction
PB	=	Phenobarbital
PHT	=	Phenytoin
SNP	=	Single Nucleotide Polymorphism
UDPGT	=	Uridine diphosphate glucuronosyltransferase
VPA	=	Valproic acid
V _d	=	Volume of distribution
V _{max}	=	Maximum rate of metabolism